

วิวัฒนาการการสะสมตัวของตะกอนและการประเมินศักยภาพโทรเลียม  
ของแอ่งย่อยวิเชียรบุรี จังหวัดเพชรบูรณ์

นาง ทศนียา โคสุวรรณ



วิทยานิพนธ์นี้เป็นส่วนหนึ่งของการศึกษาตามหลักสูตรปริญญาวิทยาศาสตรมหาบัณฑิต

ภาควิชาธรณีวิทยา

บัณฑิตวิทยาลัย จุฬาลงกรณ์มหาวิทยาลัย

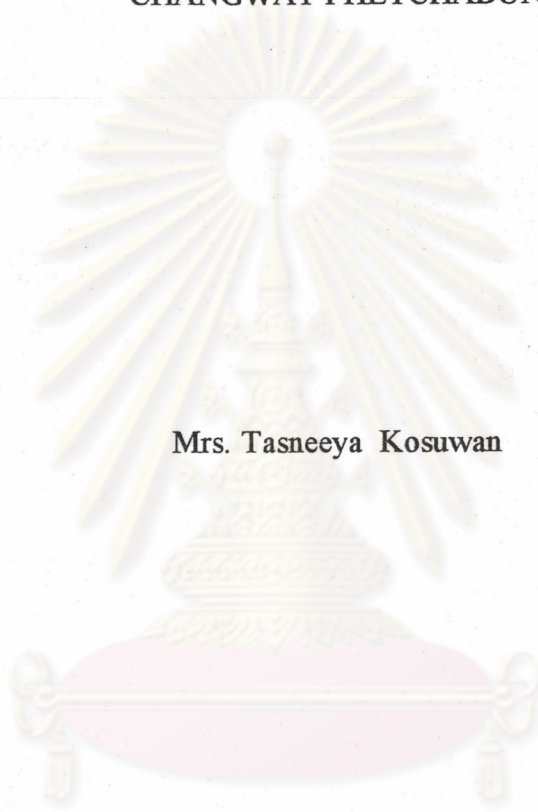
พ.ศ. 2538

ISBN 974-631-186-7

ลิขสิทธิ์ของบัณฑิตวิทยาลัย จุฬาลงกรณ์มหาวิทยาลัย

I16862594

**EVOLUTION OF SEDIMENTARY DEPOSITION AND ASSESSMENT OF  
PETROLEUM POTENTIAL OF THE WICHIAN BURI SUB-BASIN,  
CHANGWAT PHETCHABUN**



**Mrs. Tasneeya Kosuwan**

**A Thesis Submitted in Partial Fulfillment of the Requirements**

**for the Degree of Master of Science**

**Department of Geology**

**Graduate School**

**Chulalongkorn University**

**1995**

**ISBN 974-631-186-7**



Thesis Title Evolution of Sedimentary Deposition and Assessment of Petroleum  
Potential of the Wichian Buri Sub-basin, Changwat Phetchabun.  
by Mrs. Tasneeya Kosuwan  
Department Geology  
Thesis Advisor Associate Professor Chaiyudh Khantaprab, Ph.D.  
Thesis Co-advisor Songpope Polachan, Ph.D.

---

Accepted by the Graduate School, Chulalongkorn University in Partial  
Fulfillment of the Requirements for the Master 's Degree.

*Sunti Thongsuwan*  
..... Dean of Graduate School  
( Associate Professor Sunti Tungsuwan, Ph.D.)

Thesis Committee

*Sompop Vedchakanjana*  
..... Chairman  
( Assistant Professor Sompop Vedchakanjana, M.Sc.)

*Ch. Khantap*  
..... Thesis Advisor  
( Associate Professor Chaiyudh Khantaprab, Ph.D.)

*S. Polachan*  
..... Thesis Co-advisor  
( Songpope Polachan, Ph.D.)

*Pongsak Phongprayoon*  
..... Member  
( Assistant Professor Pongsak Phongprayoon, M.A.)

*Thara Lekuthai*  
..... Member  
( Thara Lekuthai, M.Sc.)





พิมพ์ต้นฉบับบทคัดย่อวิทยานิพนธ์ภายในกรอบสีเขียวนี้เพียงแผ่นเดียว

## : MAJOR  
KEY WORD:

ทัศนียา โศสุวรรณ วิทยานาการการสะสมตัวของตะกอนและการประเมินศักยภาพปิโตรเลียม  
ของแอ่งย่อยวิเชียรบุรี จังหวัดเพชรบูรณ์ (EVOLUTION OF SEDIMENTARY DEPOSITION  
AND ASSESSMENT OF PETROLEUM POTENTIAL OF THE WICHIAN BURI SUB-BASIN,  
CHANGWAT PHETCHABUN) อ.ที่ปรึกษา รัต.ดร.ชัยยทธ ชั้นพราว, 161 หน้า  
ISBN 974-631-186-7

การวิจัยครั้งนี้มีวัตถุประสงค์เพื่อการศึกษาสภาพธรณีวิทยาใต้พื้นผิวของตะกอนยุคเทอร์เชียรีใน  
แอ่งย่อยวิเชียรบุรี โดยมุ่งเน้นการจำแนกการลำดับชั้นหินตามลักษณะของหินและวิวัฒนาการของกระบวนการ  
แปรสัณฐานของการสะสมตัวของตะกอน พร้อมทั้งไต่ทำการประเมินศักยภาพของหินต้นกำเนิดปิโตรเลียมภายใน  
แอ่ง

ผลการศึกษาพบว่าตะกอนยุคเทอร์เชียรีในแอ่งย่อยวิเชียรบุรี เป็นตะกอนที่มีการสะสมตัวแบบ  
ทะเลสาบและแบบแม่น้ำพา โดยมีความหนาสูงสุดของตะกอนประมาณ 2,500 เมตร ในพื้นที่จัดแบ่งและลำดับ  
ชั้นหินของตะกอนยุคเทอร์เชียรี ออกเป็น 4 หมวดหินเรียงจากกลางสุดมาบนสุดดังนี้ หมวดหิน WB-1, WB-2  
WB-3 และ WB-4 สำหรับวิวัฒนาการของการสะสมตัวของตะกอนภายในแอ่งย่อยวิเชียรบุรีแบ่งออกได้เป็น  
2 ช่วงใหญ่คั้งนี้ ช่วงที่ 1 สมัยโอลิโกซีน-ไมโอซีนตอนกลาง แอ่งเริ่มก่อตัวในราวสมัยโอลิโกซีนโดยการ  
เคลื่อนตัวของรอยเลื่อนคานช้างซึ่งเป็นปัจจัยสำคัญที่มีอิทธิพลต่อการทรุดตัวของแอ่งในช่วงนี้ ทำให้เกิดเป็น  
ลักษณะฮาร์พกราเบน พร้อมทั้งเริ่มมีการสะสมตัวของตะกอนแบบที่ราบตะกอนน้ำพาสัมพันธ์กับหินภูเขาไฟที่  
เกิดจากกระบวนการปริแยกของโลกของหมวดหิน WB-1 ต่อมาในราวต้นสมัยไมโอซีนตอนต้น มีการทรุดตัว  
ของแอ่งในอัตราที่ค่อนข้างเร็วทำให้เกิดสภาพทะเลสาบทั่วทั้งแอ่ง เป็นผลให้เกิดการสะสมตัวของตะกอน  
หมวดหิน WB-2 ซึ่งเป็นหินโคลนสีค่าที่มีปริมาณอินทรีย์วัตถุสูง แทรกสลับด้วยการสะสมตัวของตะกอนแบบดิน  
ดอนสามเหลี่ยมปากแม่น้ำและเนินตะกอนน้ำพารูปพัด ระหว่างสมัยไมโอซีนตอนกลาง การสะสมตัวของตะ  
กอนภายในแอ่งได้รับอิทธิพลของทางน้ำเข้ามาเกี่ยวข้องมากขึ้นเรื่อยๆ อันเนื่องมาจากการยกตัวของเปลือก  
โลก จนในที่สุดมีการเปลี่ยนแปลงสภาวะแวดล้อมของการสะสมตัวของตะกอนไปเป็นแบบแม่น้ำพา เกิดการ  
สะสมตัวของหมวดหิน WB-3 เมื่อสิ้นสุดสมัยไมโอซีนตอนกลาง ช่วงที่ 2 สมัยไมโอซีนตอนปลายถึงปัจจุบัน  
การเย็นตัวของเปลือกโลกทำให้เกิดการทรุดตัวของแอ่งอีกครั้งหนึ่ง เกิดการสะสมตัวของหมวดหิน WB-4  
ภายใต้สภาวะแวดล้อมแบบทะเลสาบระหว่างสมัยไมโอซีนตอนปลายถึงสมัยไพลโอซีน จากนั้นแรงดึงออกใต้  
ทำให้เกิดบล็อกเลื่อนหมุนตัวเป็นจำนวนมากภายในแอ่ง ซึ่งถูกทับถมด้วยตะกอนยุคควอเทอร์นารีในเวลาต่อ  
มา หลังจากเกิดการยกตัวของเปลือกโลกในระหว่างสมัยไพลโอซีน-พาลีสโตซีน

แอ่งย่อยวิเชียรบุรีเป็นแอ่งหนึ่งที่มีศักยภาพในการให้กำเนิดปิโตรเลียมจากการพ่น้ำมันและก๊าซ  
ภายในแอ่ง จากการวิเคราะห์ทางธรณีเคมี ทำให้ทราบว่าหินโคลนสีค่าซึ่งมีปริมาณอินทรีย์วัตถุสูงและมีการ  
สะสมตัวในสภาวะแวดล้อมแบบทะเลสาบ เป็นหินต้นกำเนิดปิโตรเลียมของแอ่ง โดยประเภทของอินทรีย์วัตถุ  
เป็นโครโรเจนชนิดที่ 1 และ 2 ซึ่งมีแนวโน้มสูงที่จะให้น้ำมันออกมา จากการพิจารณาการกำเนิดปิโตร  
เลียมพบว่า หินต้นกำเนิดส่วนใหญ่ยังไม่ถึงระดับที่จะให้ปิโตรเลียมออกมา ยกเว้นในบริเวณที่ติดกับหินอัคนี

ภาควิชา..... ธรณีวิทยา.....

ลายมือชื่อนิสิต..... ทัศนียา โศสุวรรณ

สาขาวิชา..... ธรณีวิทยา.....

ลายมือชื่ออาจารย์ที่ปรึกษา.....



## C425718 : MAJOR GEOLOGY  
KEY WORD: SEDIMENTARY DEPOSITION / PETROLEUM POTENTIAL /  
WICHIAN BURI SUB-BASIN  
TASNEEYA KOSUWAN : EVOLUTION OF SEDIMENTARY DEPOSITION AND  
ASSESSMENT OF PETROLEUM POTENTIAL OF THE WICHIAN BURI SUB-  
BASIN, CHANGWAT PHETCHABUN. THESIS ADVISOR:  
ASSOC. PROF. CHAIYUDH KHANTAPRAB, Ph.D., 161 pp. ISBN 974-631-186-7

This research has the objective to define the subsurface geology of Tertiary deposits of the Wichian Buri sub-basin in terms of lithostratigraphy and tectono-sedimentation, with additional attempts to assess the petroleum potential of source rocks within the study area.

The Tertiary sedimentary sequence in the Wichian Buri sub-basin is entirely non-marine sediments of lacustrine and fluvial deposits with the maximum thickness of 2,500 m. The proposed lithostratigraphy of Tertiary sequence of the basin has been subdivided into 4 formations, namely; WB-1, WB-2, WB-3, and WB-4 Formations in ascending order. The tectono-sedimentary evolution of the basin was dominantly by two extensional phases during Oligocene-Recent. The early phase is characterized by major normal faulting leading to basin fill, and igneous intrusions during Oligocene to Middle Miocene. Displacement along the border faults led to asymmetric half-gaben and was the major driving mechanism for the subsidence during this time. The oldest basin fill which deposited during the initial stage of basin development in Late Oligocene, was represented by the fluvial sediments associated with rift volcanics of the WB-1 Formation. At the beginning of Early Miocene, increasing rate of extension with rapid subsidence led to open lacustrine conditions were established over the basin, resulting thick basin fill of dark, organic-rich claystone sequence of the WB-2 Formation. At the same time, fan deltas and alluvial fans continued to shed from the lake margins into the basin. During the Middle Miocene, an increasing fluvial influence occupied over the basin resulting from regional tectonic uplift that is in evidence of the presence of thick, cleaner, river sandstones of the WB-3 Formation. The second extensional phase of the basin began with thermal subsidence and widespread return of lacustrine conditions in the basin during Late Miocene to Pliocene. The renewed sedimentary cycle is characterized by a claystone dominant sequence of the WB-4 Formation that overlies on the Middle/Late Miocene unconformity. Following deposition, extension segmented the basin into rotated fault-blocks which were then covered by the Quaternary deposits after the Pliocene-Pleistocene uplift.

Occurrence of petroleum in the Wichian Buri sub-basin has been clearly proven to be potential based on the discovery of oil and gas in the basin. Geochemical study of its sediments indicated that the dark organic-rich lacustrine claystone was likely to be the source of hydrocarbons discovered in the basin. It contained Type I/II kerogens with potential for generation of oil. It is found that, potential source rock in the basin are mostly immature except where it was affected by igneous intrusion that intruded the sedimentary sequence during Early to Middle Miocene.

ภาควิชา.....ธรณีวิทยา  
สาขาวิชา.....ธรณีวิทยา  
ปีการศึกษา.....2537

ลายมือชื่อนิสิท.....กตัญญา ใจภรณ์  
ลายมือชื่ออาจารย์ที่ปรึกษา.....  
ลายมือชื่ออาจารย์ที่ปรึกษาร่วม.....



## ACKNOWLEDGEMENT

The author is indebted to her advisor, Associate Professor Dr. Chaiyudh Khantaprab, and co-advisor, Dr. Songpope Polachan for their guidance and reading of manuscript.

Grateful acknowledgement is extended to Department of Mineral Resources of Thailand (DMR) for the permission to study the confidential data, and particularly to Mr. Charoon Thongboon for his kindness in providing the data.

The author would like to express her appreciation to Mr. Naras Sattayarak, chief of Petroleum Assessment and Development Section, and his staffs for their assistance and valuable suggestions. Special thanks are given to Mr. Thara Lekuthai for his advice, comments, reading the manuscript and valuable discussion.

Finally, the thesis could not be completed without the help and encouragement of her husband, Mr. Suwith Kosuwan, in the preparation this manuscript during all phases of the work, and Nut, her son who put up so much effort to the author.

ศูนย์วิทยทรัพยากร  
จุฬาลงกรณ์มหาวิทยาลัย



# CONTENTS



	Page
ABSTRACT IN THAI.....	iv
ABSTRACT IN ENGLISH.....	v
ACKOWLEDEMENT.....	vi
<b>CHAPTER</b>	
<b>I INTRODUCTION.....</b>	<b>1</b>
General.....	1
Study Area.....	3
Data Source.....	3
Objective of the study.....	5
General Approach and Study Methodology.....	5
Analytical Procedures and Techniques in Geochemical Analysis for Petroleum Source Potential.....	7
1. Total Organic Carbon Content .....	8
2. Rock-Eval Pyrolysis.....	11
3. Visual Kerogen Analysis.....	17
4. Vitrinite Reflectance.....	20
Licence History and Previous Work.....	22
<b>II GEOLOGY.....</b>	<b>28</b>
Physiography.....	28
Geological Setting.....	30
1. Paleozoic.....	31
1.1 Carboniferous.....	31
1.2 Permian.....	35
2. Permo-Triassic Volcanics.....	38
3. Mesozoic.....	40
3.1 Triassic.....	40

CHAPTER	Page
3.2 Jurassic.....	42
3.3 Cretaceous.....	44
4. Cenozoic.....	45
4.1 Tertiary.....	45
4.2 Cenozoic Volcanics.....	46
4.3 Quaternary.....	46
Structure.....	48
1. Faults.....	48
2. Foldings.....	48
3. Unconformities.....	50
Geological History.....	50
III STRATIGRAPHY.....	56
WB-1 Formation.....	57
WB-2 Formation.....	61
1. WB-2A Member.....	62
2. WB-2B Member.....	65
3. WB-2C Member.....	67
WB-3 Formation.....	72
WB-4 Formation.....	76
IV EVOLUTION OF SEDIMENTARY DEPOSITION.....	84
Tectonic Setting and Structural Style.....	84
1. Regional Tectonics.....	84
2. Structural Framework.....	84
3. Structural Style.....	88
3.1 Border Faults.....	88
3.2 Intrabasinal Faults.....	88
3.3 Structural Features.....	90



CHAPTER	Page
Igneous Activities in the Wichian Buri Sub-basin.....	90
Tectono-sedimentary Evolution.....	100
The Wichian Buri Sub-basin Model.....	108
V     PETROLEUM SOURCE POTENTIAL.....	112
Geochemical Analysis.....	112
1. Organic Richness and Generation Potential.....	115
2. Type of Organic Matter.....	120
3. Thermal Maturity.....	125
Source Rock Volumetrics.....	134
Geothermal Gradient.....	135
Source Rock Potential.....	145
VI    CONCLUSION.....	146
REFERENCES.....	150
BIOGRAPHY.....	161

  
 ศูนย์วิทยทรัพยากร  
 จุฬาลงกรณ์มหาวิทยาลัย

## LIST OF FIGURES

Figure	Page
1.1 Significant Cenozoic basins in Thailand.	2
1.2 Topographic map of the Wichian Buri sub-basin.	4
1.3 Map showing extensive seismic traverse line and well locations.	6
1.4 Flow chart for geochemical identification of source rocks.	9
1.5 Distribution of organic carbon content in a worldwide sampling of fine-grained sedimentary rocks.	10
1.6 Principle of the Rock-Eval pyrolysis device of Espitalie et al.(1977)	12
1.7 Cycle of analysis and example of record obtained by pyrolysis method of Espitalie et al. (1977).	12
1.8 Distribution of total generation potential obtained on fine-grained sedimentary rocks containing a minimum of 5%wt TOC.	14
1.9 Correlation of chemical and visual maturity indices, the Time-Temperature Index (TTI) and hydrocarbon generation and preservation zones.	15
1.10 Classification of the source rock types by using hydrogen and oxygen indices.	15
1.11 Characterization of source rock maturity by pyrolysis methods.	16
1.12 Selected plants and coal materials and their respective position in the H/C-, O/C- diagram (van Krevelen-diagram).	19
1.13 Principal types and evolution paths of kerogen: type I, II and III are most frequent.	19
1.14 Histogram showing the distribution of the reflectance of organic matter, measured by reflected light on a polished section.	21
1.15 Approximate boundaries of the oil and gas zones in terms of vitrinite reflectance.	21



Figure	Page
1.16 Petroleum concession map of Thailand.	23
2.1 Map showing shape and internal structure of the Wichian Buri sub-basin and others in the Phetchabun Basin.	28
2.2 Geological map of the Phetchabun Basin and neighbouring area.	33
2.3 Map of Thailand showing distribution of Carboniferous to Tertiary volcanic rocks.	39
2.4 Map of Thailand showing distribution of basalts.	47
2.5 Lineament map of the Wichian buri sub-basin and neighbouring area.	49
3.1 Lithological and geophysical characteristics of the WB-1 Formation.	59
3.2 Lithological and geophysical characteristics of the WB-2A Member.	63
3.3 Lithological and geophysical characteristics of the WB-2B Member.	66
3.4 Lithological and geophysical characteristics of the WB-2C Member.	68
3.5 Lithological and geophysical characteristics of the WB-3 Formation.	73
3.6 Lithological and geophysical characteristics of the WB-4 Formation.	77
3.7 Stratigraphic correlation along a northwest-southeast profile across central area, the Wichian Buri sub-basin.	81
3.8 Stratigraphic correlation along an east-west profile across central area, the Wichian Buri sub-basin.	82
3.9 Stratigraphic correlation along a north-south profile across the Wichian Buri sub-basin.	83
4.1 Tectonic map of S.E. Asia and South China.	86
4.2 Structural map of the central of Thailand and the dextral transtensional shear model, the Phetchabun Basin.	87
4.3 Interpreted seismic profiles of line SW1-88-1, SW1-88-09, and ST-88-103, showing the geometry of the Wichian Buri sub-basin.	
(a) west bounded half-garben in the north.	

Figure	Page
(b) garben in the central.	
(c) east bounded half-garben in the south.	89
4.4a Interpreted seismic profile of line WB-89-05 across the unpublished and Wichian Buri-2 wells, showing rotated fault blocks and Wichian Buri type.	91
4.4b Interpreted seismic profile of line WB-89-03, showing the internal structure and prograding deltas within the basin.	91
4.5a Interpreted seismic profile of line WB-89-07 across the Bo Rang-1 well, showing the presence of Bo Rang type.	92
4.5b Interpreted seismic profile of line ST-90-227 across the Si Thep-1 well, showing the presence of Si Thep type.	92
4.6 Time structural map, top of basement.	93
4.7 Time structural map, top of Early/Middle Miocene horizon.	94
4.8 Time structural map, top of Middle/Late Miocene horizon.	95
4.9 Topography of Early/Middle Miocene horizon.	96
4.10 Topography of Middle/Late Miocene horizon.	97
4.11a Interpreted seismic profile of line NB-89-01, showing the Middle/Late Miocene unconformity that the WB-3 Formation are truncated by the overlying WB-4 Formation.	105
4.11b Interpreted seismic profile of line ST-89-204, showing onlap of the WB-3 Formation onto the underlying WB-2 Formation.	105
4.12 Idealized paleogeographic reconstruction in Early/Middle Miocene.	110
4.3b Idealized paleogeographic reconstruction in Recent.	111
5.1 Plots of total organic carbon versus depth for each well.	117
5.2 Plots of hydrocarbon generation potential versus depth for each well.	116
5.3 Plots of hydrogen index versus oxygen index for each well.	121
5.4 Plots of hydrogen index versus Tmax for each well.	122



Figure		Page
5.5	Plots of maceral composition versus depth for each well.	123
5.6	Plots of spore colour index versus depth for each well.	126
5.7	Plots of vitrinite reflectance versus depth for each well.	127
5.8	Plots of Tmax versus depth for each well.	131
5.9	Plots of transformation ratio versus depth for each well.	133
5.10	Example of Horner temperature graph for an idealized well.	137



ศูนย์วิทยทรัพยากร  
จุฬาลงกรณ์มหาวิทยาลัย

## LIST OF TABLES

Table	Page
2.1 Stratigraphic correlation of Phetchabun area.	32
3.1 Proposed stratigraphic classification of the Wichian Buri sub-basin.	58
5.1 Classification of organic matter in sedimentary rocks.	114
5.2 Correlation of chemical and visual maturity indices.	116
5.3 A summary of organic richness and generation potential for the unpublished, Wichian Buri-3, and Si Thep-1 wells.	119
5.4 A summary of top of oil window are calculated from vitrinite reflectance and Tmax profiles.	129
5.5a A summary of the calculation for geothermal gradient using the bottom-hole temperature of the unpublished well.	138
5.5b A summary of the calculation for geothermal gradient using the bottom-hole temperature of the Wichian Buri-2 well.	139
5.5c A summary of the calculation for geothermal gradient using the bottom-hole temperature of the Wichian Buri-3 well.	140
5.5d A summary of the calculation for geothermal gradient using the bottom-hole temperature of the Khao Leng-1 well.	141
5.5e A summary of the calculation for geothermal gradient using the bottom-hole temperature of the Si Thep-1 well.	142
5.5f A summary of the calculation for geothermal gradient using the bottom-hole temperature of the Bo Rang-1 well.	143